

·论著·  
Original Articles

## 沉默 Icmt 基因对舌鳞癌 CAL-27 和 SCC-4 细胞增殖、凋亡及细胞周期的影响

陈正岗<sup>1</sup>,王奇民<sup>1</sup>,童磊<sup>1</sup>,王云英<sup>2</sup>,徐晓娜<sup>2</sup>,王莹<sup>3</sup>,韩红钰<sup>1</sup>,盛善桂<sup>4</sup>,王少如<sup>5</sup>

(1.青岛大学附属青岛市市立医院 口腔医学中心,2.中心实验室,山东 青岛 266071;  
3.济南市第四人民医院 口腔科,山东 济南 250031;  
4.青岛大学 口腔医学院,山东 青岛 266003;  
5.大连医科大学口腔医学院,辽宁 大连 116044)

**[摘要]** 目的:探讨异戊二烯基半胱氨酸羧基甲基转移酶(isoprenylcysteine carboxyl methyltransferase,Icmt)对舌鳞癌 CAL-27 和 SCC-4 细胞增殖、凋亡和细胞周期的影响及其相关机制。方法:针对人 Icmt 基因序列设计并构建 3 条小干扰 RNA(small interfering RNA,siRNA),采用脂质体载体瞬时转染 Icmt-siRNA 抑制舌鳞癌 CAL-27 和 SCC-4 细胞 Icmt 表达,将实验组分为 Icmt-siRNA-1 组、Icmt-siRNA-2 组、Icmt-siRNA-3 组;同时将脂质体转染 NC-siRNA 作为阴性对照组,只加转染试剂作为空白对照组。采用实时荧光定量 PCR(qRT-PCR)和蛋白质免疫印迹法(Western blot)检测转染后各组细胞 Icmt、K-Ras 的 mRNA 和蛋白表达及 K-Ras 膜蛋白的表达;Western 免疫印迹检测 Cyclin D1、p21、Akt、p-Akt 蛋白表达;细胞增殖活性检测试剂盒和流式细胞术检测细胞的增殖活性、周期变化和凋亡能力。应用 GraphPad Prism 8.2.1 软件对实验数据进行统计学分析。结果:qRT-PCR 和 Western 免疫印迹检测结果显示,与对照组相比,实验组 Icmt mRNA 和蛋白表达显著下降( $P<0.05$ ),K-Ras mRNA 和蛋白表达无显著差异( $P>0.05$ ),K-Ras 膜蛋白表达显著下降( $P<0.05$ );周期相关蛋白 Cyclin D1 表达显著下调,p21 表达显著上调( $P<0.05$ );Ras/PI3K/Akt/mTOR 信号通路相关蛋白 Akt 表达无统计学差异( $P>0.05$ ),但 p-Akt 表达显著下降( $P<0.05$ )。细胞增殖活性检测结果表明,与对照组相比,实验组细胞增殖能力显著下降( $P<0.05$ );流式细胞术检测结果表明,实验组细胞凋亡水平较对照组显著增加,细胞周期被阻滞在 G1/S 期( $P<0.05$ )。结论:体外沉默 Icmt 基因可有效抑制 CAL-27 和 SCC-4 细胞增殖且诱导凋亡,其作用可能是通过影响 K-Ras 膜蛋白靶向膜定位,负性调控细胞周期和下调 Ras/PI3K/Akt/mTOR 信号通路而实现。

**[关键词]** 异戊二烯基半胱氨酸羧基甲基转移酶;K-Ras;舌鳞状细胞癌;CAL-27;SCC-4;细胞增殖;细胞周期;细胞凋亡

**[中图分类号]** R739.8      **[文献标志码]** A      **DOI:** 10.19438/j.cjoms.2021.02.001

**Effects of silencing Icmt on the proliferation, apoptosis, and cell cycle of CAL-27 and SCC-4 cells** CHEN Zheng-gang<sup>1</sup>, WANG Qi-min<sup>1</sup>, TONG Lei<sup>1</sup>, WANG Yun-ying<sup>2</sup>, XU Xiao-na<sup>2</sup>, WANG Ying<sup>3</sup>, HAN Hong-yu<sup>1</sup>, SHENG Shan-gui<sup>4</sup>, WANG Shao-ru<sup>5</sup>. (1. Department of Stomatology, 2. Central Laboratory, Qingdao Municipal Hospital, Qingdao University. Qingdao 266071, Shandong Province; 3. Department of Stomatology, Fourth People's Hospital of Jinan. Jinan 250031, Shandong Province; 4. School of Stomatology, Qingdao University. Qingdao 266003, Shandong Province; 5. School of Stomatology, Dalian Medical University. Dalian 116044, Liaoning Province, China)

**[Abstract]** PURPOSE: This study was aimed to explore the effects and regulatory mechanisms of silencing Icmt on cell proliferation, apoptosis, and cell cycle of cell line CAL-27 and SCC-4 *in vitro*. METHODS: Three siRNAs were designed and constructed for Icmt gene sequence, and then transfected into CAL-27 and SCC-4 cells to silence Icmt expression. The tested cells were divided as follows: RNA interference groups including Icmt-siRNA-1, Icmt-siRNA-2, and Icmt-siRNA-3, negative control group, and blank control group. The mRNA and protein expression of Icmt and K-Ras were

[收稿日期] 2020-05-28;[修回日期] 2020-08-17

[基金项目] 国家自然科学基金(81372908)

[作者简介] 陈正岗(1973-),男,博士,主任医师

E-mail: chenzhg1973@163.com

[通信作者] 王少如,E-mail:wangxiaorukw@163.com

©2021 年版权归《中国口腔颌面外科杂志》编辑部所有

examined by real-time PCR and Western blot, respectively. The expression of Cyclin D1, p21, Akt, and p-Akt were examined by Western blot. The proliferation abilities of CAL-27 and SCC-4 cells were determined by cell counting kit-8 assay. Cell cycle analysis and apoptosis abilities of CAL-27 and SCC-4 cells were detected by flow cytometry. Statistical analysis and presentation was performed using GraphPad Prism 8.2.1 software. **RESULTS:** The expression of Icmt mRNA and protein in CAL-27 and SCC-4 cells was reduced significantly after Icmt siRNAs were transfected ( $P<0.05$ ). No significant difference in K-Ras mRNA and protein expression was detected ( $P>0.05$ ), but the expression of K-Ras membrane protein was decreased significantly compared with the negative control group and the blank control group ( $P<0.05$ ). Cyclin D1 expression was decreased, whereas p21 expression was increased significantly. The expression of Akt was invariant ( $P>0.05$ ), but the expression of p-Akt was significantly decreased ( $P<0.05$ ). The cell cycle was altered in G1/S, the growth-proliferative activity was inhibited and apoptosis was significantly induced ( $P<0.05$ ). **CONCLUSIONS:** Silencing Icmt can effectively reduce the proliferation and induce apoptosis of CAL-27 and SCC-4 cells by affecting K-Ras membrane targeting localization, and then negatively regulating cell cycle and down-regulating K-Ras /PI3K/Akt/mTOR signaling pathway.

**[Key words]** Isoprenylcysteine carboxyl methyltransferase; K-Ras; Tongue squamous cell carcinoma; CAL-27; SCC-4; Cell proliferation; Cell cycle; Cell apoptosis

*China J Oral Maxillofac Surg,2021,19(2):97-104.*

舌鳞状细胞癌(tongue squamous cell carcinoma, TSCC)具有高转移性、高侵袭性及高致死率等特点,且因解剖部位特殊,手术重建困难,临床预后较差,严重影响患者的生存质量<sup>[1]</sup>。虽然不断地改进肿瘤的手术治疗方法及采用联合放疗、化疗的综合治疗方案,但患者的预后并没有得到明显改善,仍有复发和转移的可能,5年生存率依然在50%~60%左右<sup>[2]</sup>。目前,随着生物技术和基因工程的发展,肿瘤的生物靶向治疗成为研究的热点。在舌鳞癌研究中,寻找新的有效靶点显得尤为重要。

K-Ras是Ras家族中最易发生突变的致癌基因之一,与多种肿瘤的发生、发展密切相关<sup>[3]</sup>。其发挥生物学功能的前提是与细胞膜的稳定结合,通过细胞膜转导信号,调控参与肿瘤细胞分化、增殖、黏附和凋亡的细胞信号通路<sup>[4]</sup>。Icmt作为第三步翻译后修饰的唯一修饰酶,催化Ras蛋白羧基末端的甲基化修饰,促进Ras蛋白的膜亲和力<sup>[5]</sup>。在缺乏Icmt介导的甲基化修饰的情况下,K-Ras蛋白不能正确定位于胞膜上,导致其调节细胞生长和增殖的能力减弱<sup>[6]</sup>。大量研究证明,降低Icmt酶活性可对多种肿瘤的发展产生一定影响,如鼻咽癌<sup>[7]</sup>、卵巢癌<sup>[8]</sup>、胰腺癌<sup>[9]</sup>、肝癌<sup>[10]</sup>等,但对口腔癌的影响及其相关机制尚不清楚。

本研究利用RNA干扰(RNA interference, RNAi)技术体外沉默舌鳞癌CAL-27和SCC-4细胞的Icmt基因的表达,观察对K-Ras蛋白和舌鳞癌细胞增殖、凋亡及细胞周期的影响,检测调控细胞周期和信号通路相关蛋白的表达,以探讨Icmt对舌鳞癌的作用及其相关机制。

## 1 材料与方法

### 1.1 材料和试剂

人舌鳞状细胞癌细胞系CAL-27购自中南大学高等研究中心,SCC-4由山东大学口腔医学院馈赠。DMEM高糖型基础培养基、胎牛血清(BI,以色列),胰蛋白酶、100×青霉素/链霉素(Gibco,美国),DMSO(Amersco,美国),Icmt-siRNA片段设计、合成及riboFECTTM CP转染试剂(广州市锐博生物科技有限公司),RNA提取试剂盒、反转录试剂盒、TB Green Premix Ex Tad™(TaKaRa,日本),PCR引物Icmt、K-Ras、GAPDH设计合成(上海生工生物工程有限公司),细胞增殖活性检测试剂盒(cell counting kit-8,CCK-8)(MCE,美国),Annexin V-APC/PI荧光双染细胞凋亡检测试剂盒(武汉伊莱瑞特生物科技股份有限公司),细胞周期与凋亡检测试剂盒、RIPA裂解液、细胞膜蛋白与细胞质蛋白抽提试剂盒、蛋白酶磷酸酶抑制剂混合物、二喹啉甲酸(BCA)试剂盒(上海碧云天生物技术有限公司),兔抗人多克隆抗体Icmt、p21、Cyclin D1(Proteintech,美国),K-Ras(Abcam,美国),Akt、p-Akt、GAPDH、羊抗兔IgG二抗(CST,美国)。

### 1.2 方法

**1.2.1 细胞培养** 用含10%胎牛血清、1%青霉素和链霉素的DMEM高糖培养基培养CAL-27、SCC-4。细胞于37℃、5%CO<sub>2</sub>恒温培养箱中培养,以1:3比例传代培养。取处于对数生长期的细胞进行siRNA转染处理,用于后续实验。

**1.2.2 siRNA 转染沉默 Icmt 基因** 针对人 Icmt 基因序列设计并合成 3 条 siRNA(表 1)和 1 条阴性对照序列 NC-siRNA。分别取对数生长期的 CAL-27 和 SCC-4 细胞,以每孔  $2 \times 10^5$  个细胞密度接种于 6 孔板,待细胞融合至 30%~50% 时用于转染。按照 siRNA 转染试剂盒说明书,首先用 120  $\mu\text{L}$  riboFECT<sup>TM</sup> CP Buffer 稀释 5  $\mu\text{L}$  20  $\mu\text{mol/L}$  siRNA 储存液(转染时 siRNA 终浓度为 50 nmol/L),轻轻吹打混匀后,加入 12  $\mu\text{L}$  riboFECT<sup>TM</sup> CP Reagent,混匀,制备成转染复合物,室温下孵育 15 min。取出 6 孔板,弃原液,PBS 冲洗 3 次,每孔加入 1 863  $\mu\text{L}$  无双抗培养基,将制备好的转染复合物均匀加入相应孔内,继续于 37 °C、5% CO<sub>2</sub> 恒温培养箱中培养。待转染一定时间后,进行相关细胞水平或分子水平的检测。

**1.2.3 qRT-PCR 实验** siRNA 转染 24 h 后,提取各组细胞总 RNA,紫外分光光度计检测每组所提 RNA 的浓度和纯度。按照反转录试剂盒说明书,将适量 RNA 反转录为 cDNA,然后各组均取 1  $\mu\text{L}$  cDNA 进行 qRT-PCR 反应,以 GAPDH 为内参,每组均设 3 个平行副孔。Icmt 的引物序列,上游序列:5'-CGGCATCCTTCTTACGTCGG-3',下游序列:5'-CCACACTGTCAGGGCATAGC-3';K-Ras 引物序列,上游序列:5'-AGTTGGAGCTGGTGGCGTAGG-3',下游序列:5'-TACTCCTCTTGACCTGCTGTGTCG-3';GAPDH 引物序列,上游序列:5'-GCACCGTCAAG GCTGAGAAC-3',下游序列:5'-TGGTGAAGACGCC AGTGG-3'。严格按照 TaKaRa TB Green Premix Ex Tad<sup>TM</sup> 试剂盒说明书配置 PCR 反应体系及调整反应参数。使用 ABI PRISM 7000 实时荧光定量 PCR 仪对荧光信号实时监测,采用  $2^{-\Delta\Delta\alpha}$  公式计算各组 Icmt 和 K-Ras mRNA 的相对表达水平。

**1.2.4 Western 免疫印迹实验** siRNA 转染 48 h 后,RIPA 裂解液裂解各组细胞,提取总蛋白质。K-Ras 膜蛋白应用细胞膜蛋白与细胞质蛋白提取试剂盒进行提取,利用 BCA 试剂盒测定蛋白浓度。100 °C 变性 10 min,每泳道等量上样,用 10% 聚丙烯酰胺

表 1 针对 Icmt 基因序列设计 3 条 Icmt-siRNA

Table 1 Three Icmt-siRNA sequences designed for Icmt gene

名称	产品编号	产品名称	靶序列
Icmt-siRNA-1	stB0010313A	genOFFTMst-h-ICMT-001	GAAGAAGAAATCTCACTAA
Icmt-siRNA-2	stB0010313B	genOFFTMst-h-ICMT-002	GTTAGAGTTCACACTTGAA
Icmt-siRNA-3	stB0010313C	genOFFTMst-h-ICMT-003	CTTCCCGCGATCGAACAGAA

的坏死细胞或机械性损伤细胞;右上象限 (Q2) 为 Annexin V-APC、PI 双染的晚期凋亡细胞;右下象限 (Q3) 为 Annexin V-APC 单染的早期凋亡细胞;左下象限 (Q4) 为无染色的存活细胞, 流式细胞仪计量测得各象限细胞比率, 以  $\bar{x} \pm s$  表示。

### 1.3 结果处理和统计学分析

Western 免疫印迹图像采用 image J 软件进行灰度分析, 流式细胞仪检测的凋亡、周期结果分别采用 FlowJo™ 10 和 ModFit LT 软件分析。实验数据以  $\bar{x} \pm s$  表示, 应用 GraphPad Prism 8.2.1 软件作图, 两组间比较采用独立样本 *t* 检验, 多组间比较用单因素方差分析,  $P < 0.05$  为差异有统计学意义。

## 2 结果

### 2.1 siRNA 转染后各组细胞 Icmt 的表达水平

qRT-PCR 检测结果(图 1)显示, Icmt-siRNA 转染 CAL-27 和 SCC-4 细胞 24 h 后, Icmt mRNA 表达水平显著降低, 其中 Icmt-siRNA-1 和 Icmt-siRNA-3 组与空白对照组相比,  $P < 0.01$ ; Icmt-siRNA-2 组与空白对照组相比,  $P < 0.05$ 。因 Icmt-siRNA-1 和 Icmt-siRNA-3 组沉默效率高于 Icmt-siRNA-2 组, 故后续应用此两组作为实验组。转染 48 h 后行 Western 免疫印迹检测, 进一步证明(图 1), 实验组 CAL-27 和 SCC-4 细胞 Icmt 的蛋白相对表达量显著下降 ( $P < 0.05$ )。

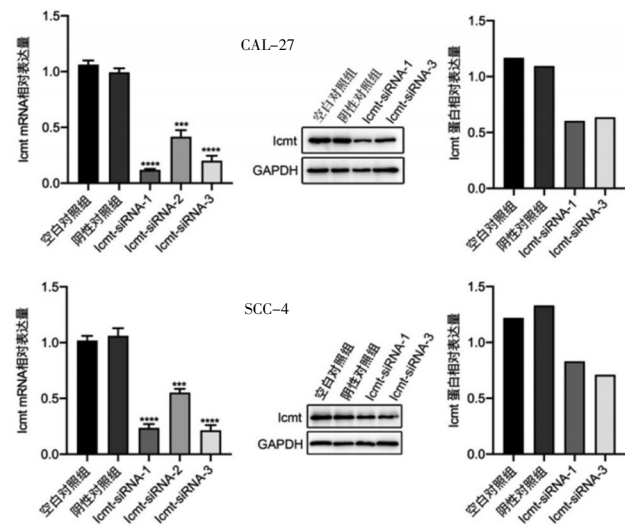


图 1 CAL-27 和 SCC-4 细胞转染 Icmt-siRNA 后各组细胞 Icmt mRNA 及蛋白的表达变化(与空白对照组相比, \*\* $P < 0.05$ ; \*\*\* $P < 0.01$ )  
Figure 1 Expression of Icmt mRNA and protein in CAL-27 and SCC-4 cells after Icmt-siRNA transfection (Compare with blank control group, \*\* $P < 0.05$ ; \*\*\* $P < 0.01$ )

### 2.2 体外沉默 Icmt 后各组细胞 K-Ras mRNA 及 K-Ras 总蛋白和膜蛋白表达

qRT-PCR 及 Western 免疫印迹检测结果显示, 与阴性对照组和空白对照组相比, 实验组 K-Ras mRNA 及总蛋白相对表达量无显著变化( $P > 0.05$ ), 但 K-Ras 膜蛋白相对表达量显著下降( $P < 0.05$ , 图 2)。

### 2.3 体外沉默 Icmt 对 CAL-27 和 SCC-4 细胞增殖能力的影响

应用 CCK-8 试剂盒检测 CAL-27 和 SCC-4 细

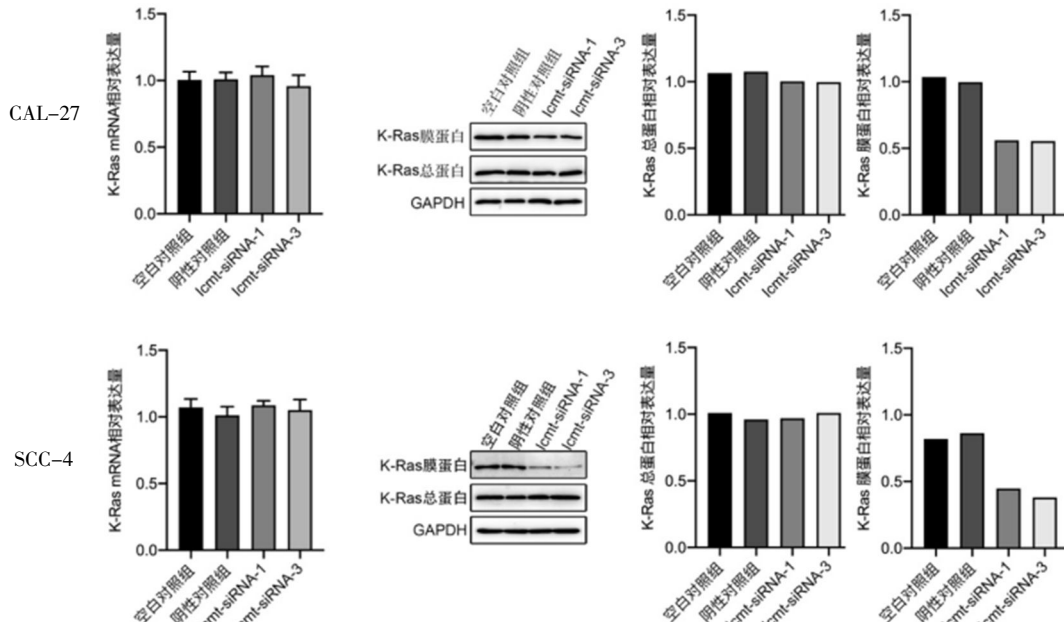


图 2 CAL-27 和 SCC-4 细胞转染 Icmt-siRNA 后各组细胞 K-Ras mRNA 及蛋白的表达变化

Figure 2 Expression of K-Ras mRNA and protein in CAL-27 and SCC-4 cells after Icmt-siRNA transfection

胞的增殖变化,结果(图3)显示,在转染0、24、48、72 h后,阴性对照组和空白对照组细胞均呈持续性快速增殖状态;而实验组细胞在24 h后与对照组相比,增殖速度显著减慢( $P<0.05$ ),且随着时间延长,细胞增殖被抑制的趋势越明显。与对照组相比,实验组细胞的相对生存率也显著下降( $P<0.01$ )。

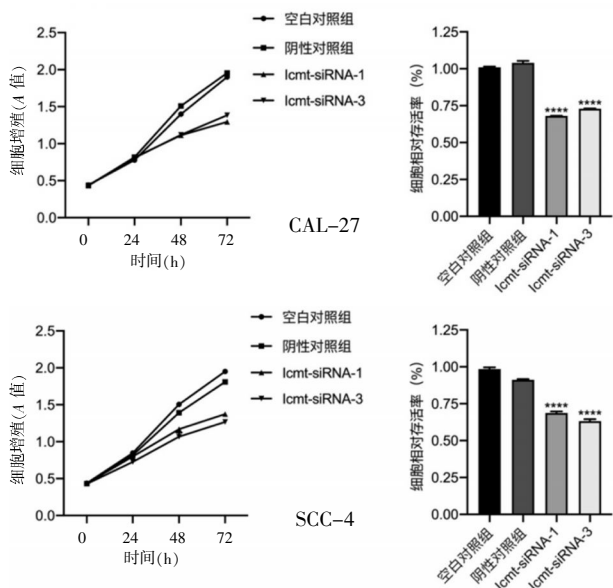


图3 沉默Icmt后对各组细胞增殖能力的影响(与空白对照组相比,\*\*\* $P<0.01$ )

Figure 3 Effect of silencing Icmt on cells proliferation capacity (Compare with blank control group, \*\*\* $P<0.01$ )

#### 2.4 体外沉默Icmt对CAL-27和SCC-4细胞周期和凋亡能力的影响

为探讨体外沉默Icmt基因的表达对CAL-27和SCC-4细胞增殖能力的抑制是否与细胞周期、凋亡水平增加有关,本研究首先应用流式细胞术检测siRNA转染48 h后各组细胞周期的变化,结果显示,实验组较对照组相比,G1期细胞比例显著增加,S期细胞比例减少,G2期细胞无明显变化,其差异具有统计学意义( $P<0.05$ ,图4A)。其次,为进一步证实体外沉默Icmt对细胞周期的影响,应用Western免疫印迹测定与G1期相关的细胞周期蛋白的表达,结果发现,实验组在转染Icmt siRNA后,Cyclin D1蛋白表达显著下调,p21蛋白表达显著上调( $P<0.05$ ,图4B)。应用Annexin V-APC/PI荧光双染法处理各组细胞,于流式细胞仪上检测细胞的凋亡水平,结果(图4C)显示:各组细胞凋亡率(CAL-27: 2.02%±0.19%、2.77%±0.07%、8.83%±0.12%、7.17%±0.12%; SCC-4: 1.35%±0.11%、1.85%±0.02%、6.28%±0.08%、6.81%±0.21%),实验组凋亡细胞百分率显著增加

( $P<0.01$ )。表明沉默Icmt基因表达对细胞增殖的抑制可能与将细胞周期停滞于G1期和诱导细胞凋亡增加有关。

#### 2.5 体外沉默Icmt后Ras/PI3K/Akt/mTOR信号通路的相关蛋白表达变化

为了进一步研究体外沉默Icmt对CAL-27和SCC-4影响的相关机制,应用Western免疫印迹检测Ras/PI3K/Akt/mTOR信号通路的相关蛋白,结果显示,Akt蛋白表达无变化,p-Akt蛋白表达显著下调( $P<0.05$ ,图5)。

### 3 讨论

Tadokoro等<sup>[11]</sup>首次报道在口腔癌细胞系中存在激活的Ras基因。随后,Saranath等<sup>[12]</sup>发现,在口腔癌细胞系中存在K-Ras扩增现象。Das等<sup>[13]</sup>在50例东印度口腔癌组织标本中,发现H-Ras、K-Ras基因分别有28%和33%的突变。目前,Ras被认为是口腔癌中最常见的突变致癌基因之一,与肿瘤的发生、发展关系密切<sup>[13]</sup>。因此,抑制Ras活性对口腔癌的发生、发展可产生一定影响。因在其结构上含有-CAAX末端残基,必须依赖于翻译后修饰,才能获得与细胞膜的稳定结合,进而发挥生物活性作用<sup>[14]</sup>。故抑制相关修饰酶的活性,可能成为治疗口腔癌的潜在靶点。

Icmt是定位在ER上的分子量为32 kDa的蛋白,作为翻译后修饰的第三步修饰酶,催化Ras蛋白末端-CAAX的羧基甲基化修饰<sup>[15]</sup>。本研究以舌鳞癌CAL-27和SCC-4细胞为研究对象,应用siRNA干扰技术,有效沉默Icmt基因的表达,检测其对K-Ras的影响,结果发现,K-Ras mRNA和总蛋白的表达无明显变化,但其膜蛋白相对表达量较对照组显著降低。由此推测,Icmt并不影响K-Ras蛋白的合成,而可能是通过修饰K-Ras的蛋白末端-CAAX羧甲基化,影响K-Ras与细胞膜的稳定结合,这与在K-Ras突变诱导的多种肿瘤中的研究结果一致。在缺乏羧基甲基化修饰的情况下,K-Ras蛋白不能有效地与细胞膜结合,而滞留在胞质内处于非活性状态,使肿瘤进展受到明显抑制<sup>[5,6,13,16]</sup>。由此表明,Ras的膜靶向定位和稳定性在很大程度上依赖于Icmt,故抑制Icmt可能是一种更有效的抗癌靶点。

大量研究<sup>[17-18]</sup>证明,降低Icmt酶活性可显著抑制肿瘤细胞的生长、存活、转移和侵袭等。近年来,国内的相关研究报道主要是探讨Icmt对恶性肿瘤的化

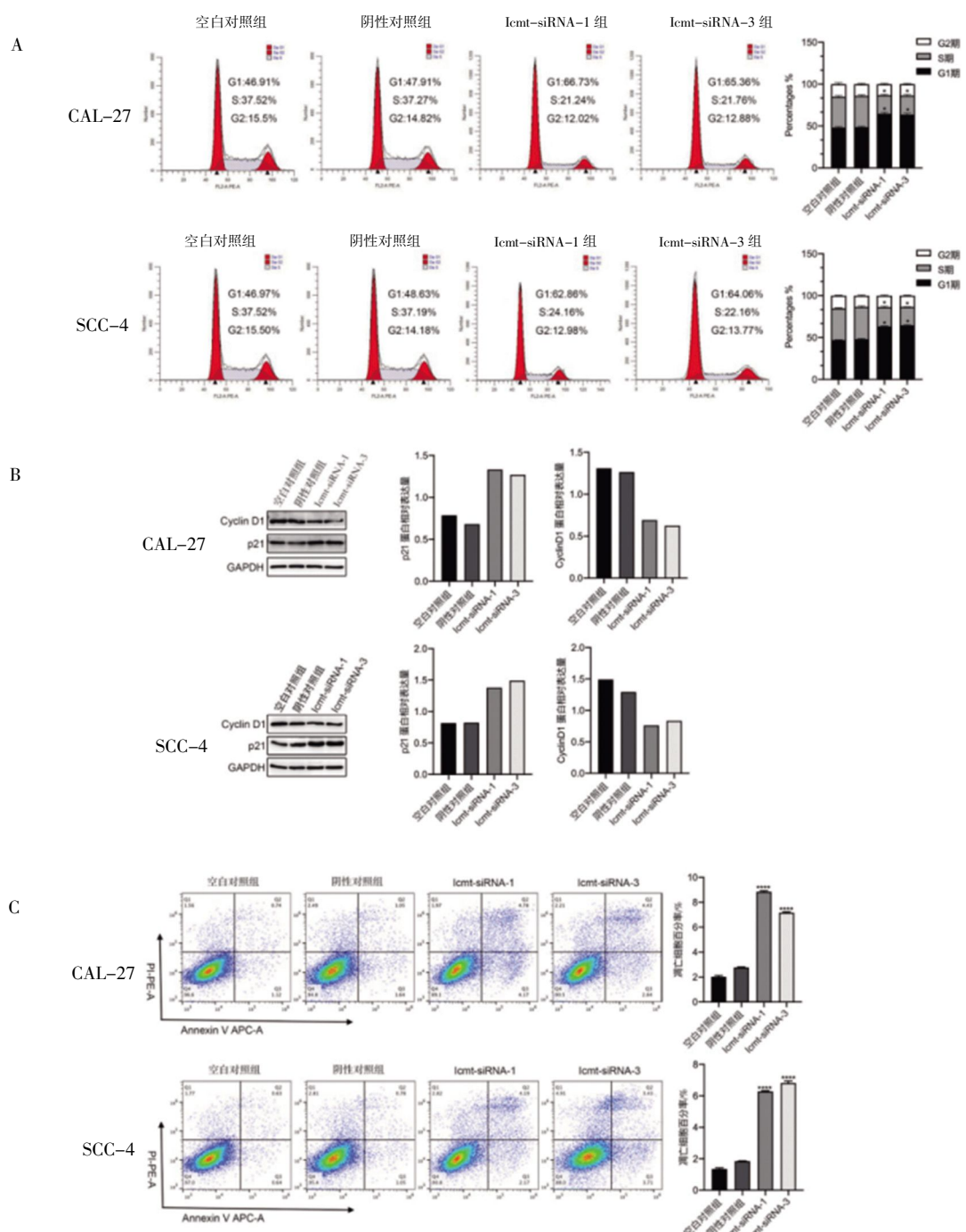


图4 体外沉默Icmt对CAL-27和SCC-4细胞周期和凋亡能力的影响。A.代表性流式细胞术图像和细胞周期分布统计图(与空白对照组相比, \*P<0.05);B.细胞周期相关蛋白p21和Cyclin D1的相对表达量;C.代表性流式细胞术图像和凋亡细胞百分比统计图(与空白对照组相比, \*\*\*P<0.01)

Figure 4 Effect of silencing Icmt on cell cycle and apoptosis in CAL-27 and SCC-4 cells. A. Diagram of flow cytometry and statistical chart of cell cycle (Compare with blank control group, \*P<0.05); B. Relative expression of p21 and Cyclin D1 protein; C. Diagram of flow cytometry and statistical chart of cell apoptosis(Compare with blank control group, \*\*\*P<0.01)

疗药物反应性的影响,如鼻咽癌<sup>[7]</sup>、卵巢癌<sup>[8]</sup>、肝癌<sup>[10]</sup>和宫颈癌<sup>[19]</sup>等。研究发现,Icmt高表达时,可增加肿瘤细胞对化疗药物的耐受性;而应用siRNA技术或药物抑制剂下调Icmt表达后,肿瘤细胞则对化疗药物的敏感性显著增加,并通过降低Ras活性及其介导

的MAPK或Ras/PI3K/Akt信号通路,抑制肿瘤细胞增殖及诱导凋亡。但Icmt对口腔癌的影响及作用机制国内尚未见有相关文献报道。本研究以CAL-27和SCC-4细胞为研究对象,探讨沉默Icmt对舌鳞癌生物学行为的影响。CCK-8检测结果显示,实验组

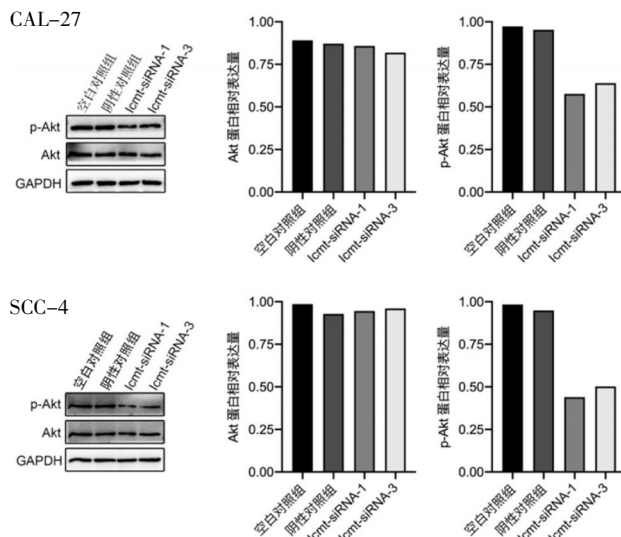


图 5 沉默 Icmt 后, Ras/PI3K/Akt/mTOR 信号通路的相关蛋白表达  
Figure 5 Expression of related proteins in Ras/PI3K/Akt/mTOR signalling pathway after silencing Icmt

CAL-27 和 SCC-4 细胞在转染 Icmt-siRNA 24 h 后,与对照组相比,细胞增殖能力开始受到抑制;转染 72 h 时,细胞相对存活率显著下降。通过流式细胞术检测到细胞周期的分布发生变化,主要表现在 G1 期细胞比例明显增加,S 期细胞比例减少,而 G2 期细胞无明显变化;细胞凋亡水平也显著增加。由此表明,降低 Icmt 酶活性,可能通过改变细胞周期分布,抑制舌鳞癌细胞的增殖且诱导凋亡。推测其原因,可能是沉默 Icmt 降低了 K-Ras 蛋白的甲基化修饰和膜定位,进而影响 K-Ras 对下游效应分子及 Ras 多级联信号通路的调控作用。

PI3K/Akt/mTOR 是 Ras 蛋白调控最典型的通路之一,与多种恶性肿瘤的发生、发展相关,且其在舌癌的增殖、迁移等过程中也发挥重要的作用<sup>[20-22]</sup>。为进一步探讨 Icmt 对舌鳞癌细胞增殖影响相关机制,本研究应用 Western 免疫印迹检测 PI3K/Akt/mTOR 通路的关键分子 Akt 及 Akt 的磷酸化水平,结果显示,沉默 Icmt 基因表达后,各组间 Akt 蛋白表达无显著差异,而实验组 Akt 蛋白的活性形式磷酸化水平较对照组显著下降。研究<sup>[23-24]</sup>证实,Ras 可使多种肿瘤细胞的 Cyclin D1 表达上调,其可调控 CDK4/CDK6,并与之结合形成 Cyclin D1-CDK4/6 复合物,使细胞由 G1 期进入 S 期,加速细胞周期进程,促使细胞持续性增殖。Ras 亦可通过调控 PI3K/Akt/mTOR 信号通路,促进 Cyclin D1 表达和稳定性增加<sup>[21,23]</sup>。Ras/PI3K/Akt/mTOR 对 CKIs(p21,p27 等)也存在一定的调节作用,其中,p21 作为最早发现并克隆的人

CKI,几乎是所有调控细胞周期的Cyclin-CDK 复合物的结合抑制因子,抑制细胞周期进展,亦可调控细胞凋亡。p-Akt 也可靶向调控 p21,使其滞留在胞质内,阻止其对细胞周期的抑制作用<sup>[23,25]</sup>。Manu 等<sup>[26]</sup>在对胰腺癌的研究中发现,降低 Icmt 酶活性,可激活 p21 及其下游信号通路,抑制肿瘤细胞增殖而诱导细胞凋亡。本研究在沉默 Icmt 后,发现实验组 CAL-27 和 SCC-4 细胞的 G1 期调控蛋白 Cyclin D1 表达下调,周期抑制蛋白 p21 表达上调。表明沉默 Icmt 基因表达,可抑制 K-Ras 与细胞膜的稳定结合,使 K-Ras 对下游效应分子或 Ras/PI3K/Akt/mTOR 信号通路的级联反应的激活作用明显减弱,导致细胞周期阻滞在 G1/S 期,诱导细胞凋亡水平增加且抑制细胞增殖。

总之,体外沉默舌鳞癌细胞 Icmt 基因表达,可负性调控细胞周期,抑制其增殖和诱导凋亡,其相关机制可能是通过降低 K-Ras 蛋白的膜靶向定位,进而不能有效激活下游效应分子或 Ras/PI3K/Akt/mTOR 信号通路。本研究为 Icmt 作为舌鳞癌基因靶向治疗的新的有效靶点提供了一定的实验依据。

利益冲突声明:无。

作者贡献声明:陈正岗负责蛋白检测分析、实验设计、论文写作指导及修改;王奇民、童磊负责资料收集及分析;王云英、徐晓娜负责部分实验操作指导;王莹、韩红钰负责文献整理;盛善桂负责部分体外实验操作及部分统计分析;王少如负责体外实验操作、统计分析、论文撰写。

## 参考文献

- [1] Li S, Chien C, Huang WT, et al. Prognostic significance and function of mammalian target of rapamycin in tongue squamous cell carcinoma[J]. Sci Rep, 2017, 7(1): 8178-8178.
- [2] Feng Z, Xu QS, Qin LZ, et al. Predicting radiotherapy necessity in tongue cancer using lymph node yield[J]. Oral Maxillofac Surg, 2017, 75(5): 1062-1070.
- [3] Prior IA, Lewis PD, Mattos C. A comprehensive survey of Ras mutations in cancer[J]. Cancer Res, 2012, 72(10): 2457-2467.
- [4] Karnoub AE, Weinberg RA. Ras oncogenes: split personalities[J]. Nat Rev Mol Cell Biol, 2008, 9(7): 517 - 531.
- [5] Winter-Vann AM, Casey PJ. Post-prenylation-processing enzymes as new targets in oncogenesis [J]. Nat Rev Cancer, 2005, 5 (5): 405-412.
- [6] Bergo MO, Leung GK, Ambroziak P, et al. Targeted inactivation of the Isoprenylcysteine carboxyl methyltransferase gene causes mislocalization of K-Ras in mammalian cells [J]. Biol Chem, 2000, 275(23): 17605-17610.

- [7] Zhu YB, Hu QY, Li H. Isoprenylcysteine carboxyl methyltransferase is associated with nasopharyngeal carcinoma chemoresistance and Ras activation [J]. *Biochem Biophys Res Commun*, 2019, 516(3): 784–789.
- [8] Liu Q, Chen J, Fu B, et al. Isoprenylcysteine carboxyl methyltransferase regulates ovarian cancer cell response to chemotherapy and Ras activation [J]. *Biochem Biophys Res Commun*, 2018, 501(2): 556–562.
- [9] Court H, Amoyel M, Hackman M, et al. Isoprenylcysteine carboxyl methyltransferase deficiency exacerbates K-RAS–driven pancreatic neoplasia via Notch suppression [J]. *J Clin Invest*, 2013, 123(11): 4681–4694.
- [10] Xu J, Zhu Y, Wang F, et al. ICMT contributes to hepatocellular carcinoma growth, survival, migration and chemoresistance via multiple oncogenic pathways [J]. *Biochem Biophys Res Commun*, 2019, 518(3): 584–589.
- [11] Tadokoro K, Ueda M, Ohshima T, et al. Activation of oncogenes in human oral cancer cells: a novel codon 13 mutation of c-H-ras-1 and concurrent amplifications of c-erbB-1 and c-myc[J]. *Oncogene*, 1989, 4(4): 499–505.
- [12] Saranath D, Panchal RG, Nair R, et al. Oncogene amplification in squamous cell carcinoma of the oral cavity [J]. *Jpn J Cancer Res*, 1989, 80(5): 430–437.
- [13] Das N, Majumder J, Dasgupta UB. Ras gene mutations in oral cancer in eastern India[J]. *Oral Oncol*, 2000, 36(1): 76–80.
- [14] Glomset JA, Farnsworth CC. Role of protein modification reactions in programming interactions between Ras-related GTPases and cell membranes[J]. *Annu Rev Cell Biol*, 1994, 10(1): 181–205.
- [15] Dai Q, Choy E, Chiu V, et al. Mammalian prenylcysteine carboxyl methyltransferase is in the endoplasmic reticulum [J]. *Biol Chem*, 1998, 273(24): 15030–15034.
- [16] Wahlstrom AM, Cutts BA, Liu M, et al. Inactivating Icmf ameliorates K-Ras–induced myeloproliferative disease [J]. *Blood*, 2008, 112(4): 1357–1365.
- [17] Lau HY, Tang J, Casey PJ, et al. Isoprenylcysteine carboxyl methyltransferase is critical for malignant transformation and tumor maintenance by all RAS isoforms[J]. *Oncogene*, 2017, 36(27): 3934–3942.
- [18] Magkouta S, Pappas A, Moschos C, et al. Icmf inhibition exerts anti-angiogenic and anti-hyperpermeability activities impeding malignant pleural effusion [J]. *Oncotarget*, 2016, 7 (15): 20249–20259.
- [19] Pan Q, Liu R, Banu H, et al. Inhibition of isoprenylcysteine carboxylmethyltransferase sensitizes common chemotherapies in cervical cancer via Ras-dependent pathway [J]. *Biomed Pharmacother*, 2018, 99: 169–175.
- [20] Murugan AK, Munirajan AK, Tsuchida N, et al. Ras oncogenes in oral cancer: the past 20 years[J]. *Oral Oncol*, 2012, 48(5): 383–392.
- [21] Morgensztern D, Mcleod HL. PI3K/Akt/mTOR pathway as a target for cancer therapy[J]. *Anti Cancer Drugs*, 2005, 16(8): 797–803.
- [22] Wang K, Lin C, Wang C, et al. Silencing Kif2 a induces apoptosis in squamous cell carcinoma of the oral tongue through inhibition of the PI3K/Akt signaling pathway[J]. *Mol Med Rep*, 2014, 9 (1): 273–278.
- [23] Pruitt K, Der CJ. Ras and Rho regulation of the cell cycle and oncogenesis[J]. *Cancer Lett*, 2001, 171(1): 1–10.
- [24] Shvartsur A, Bonavida B. Trop2 and its overexpression in cancers: regulation and clinical/therapeutic implications [J]. *Genes Cancer*, 2015, 6(3–4): 84–105.
- [25] Abbas T, Dutta A. p21 in cancer: intricate networks and multiple activities[J]. *Nat Rev Cancer*, 2009, 9(6): 400–414.
- [26] Manu KA, Chai TF, Teh JT, et al. Inhibition of Isoprenylcysteine carboxylmethyltransferase induces cell-cycle arrest and apoptosis through p21 and p21-regulated BNIP3 induction in pancreatic cancer[J]. *Mol Cancer Ther*, 2017, 16(5): 914–923.